

铍青铜的应力松弛性能及组织^①

李忆蓬 韩雅静 于淑骢 杜 宏

(天津大学)

摘要

测定了承受弯曲应力的铍青铜($Q_{Be-1.75}$)片材在不同温度下的应力松弛曲线，拟合了松弛曲线方程，研究了温度、合金状态对松弛性能的影响。还对松弛过程做了定点金相观察和 TEM 组织分析。

关键词： 应力松弛 铍青铜 松弛的组织与性能

铍青铜是一种特殊的青铜，也是典型的沉淀硬化型高弹高导电性合金。它在第二次世界大战及战后的年代里得到了广泛应用。铍青铜具有优良的机械性能和耐磨耐疲劳性能，有较高的强度和硬度，还有优良的导电性、耐蚀性、低温无磁性、冲击不起火花性以及优良的工艺性能。它的弹性极限比铜低，弹性模量几乎比钢小一倍。

铍青铜的质量首先由它的弹性极限和松弛稳定性决定。应力松弛是指温度一定时，恒应变条件下工作的弹性材料，应力随时间逐渐下降的现象，即弹力随时间逐渐降低的现象。它极大地影响弹性元件的精度、可靠性和寿命，铍青铜的使用温度范围是室温至 150 °C，它的室温松弛稳定性十分良好，但室温以上松弛性能的研究却比较少。鉴于当前在国防、航空和仪器、仪表工业中仍然广泛使用铍青铜，作者对 $Q_{Be-1.75}$ 铍青铜的应力松弛进行了系统研究。

1 试验方法及材料

采用厚度 $h=0.35$ mm 的铍青铜($Q_{Be-1.75}$)

形变 33% 全硬态片材做试样材，其化学成分 (wt.-%) 为：1.75Be, 0.72Ni, 余量 Cu。机械性能见表 1。组织为被拉长的 α 晶粒，晶内有大量的滑移带。晶界上有不连续析出相 γ_2 ，晶内有未溶相 γ_1 及退火变晶等。

表 1 铍青铜($Q_{Be-1.75}$)原始及热处理后的机械性能

状 态	机 械 性 能					
	σ_e /MPa	σ_s /MPa	σ_b /MPa	δ /%	HV	E/GPa
全硬态	542.7	772	784	2.2	290	104
固溶态 (780 °C)	135	220	527	36	118	100
时效态 (320 °C)	809	1 086	1 254	2	380	126

铍青铜经线切割成(按 ASTM 标准自己设计制造)等应力试样^[1]，并进行两种热处理，即(1)780 °C 固溶 15 min(称固溶态)，(2)780 °C 固溶 + 320 °C 时效 2h(称时效态)。后者是工业生产中经常采用的热处理工艺。处理后的力学性能见表 1。试样磨光、抛光、腐蚀后进行光镜观察，做定点标记，照像、贴应变片并装在专用的松弛试验夹具上，试样承弯曲应力，初始应力 $\sigma_0=0.8\sim0.9\sigma_e$ ，固溶态初始应力为 120 MPa，时效态初应力为 380 MPa。投入恒温装置，并与静态应变仪连接，测出以上两状态

①于 1992 年 9 月 1 日收到

的试样在室温、50、80、120℃下的松弛曲线，松弛试验时间较长，应力下降较慢，因此松弛曲线纵坐标用应力 σ (MPa)，横坐标时间为对数 $\ln(t+1)$ ，即 $\sigma-\ln(1+t)$ 表示，也可以写成 $\sigma-\lg(1+t)$ 。 t 为时间，以h表示^[1]。松弛后取下试样，用酒精清洗，定点照像。

2 试验结果及讨论

2.1 松弛曲线及方程

图1(a)、(b)是两种状态的 $Q_{Be-1.75}$ 在不同温度下测定的松弛曲线，两类状态动力学曲线形式基本相同，曲线分为两个阶段，第一阶段应力下降较快，速率较大，一般称态志阶段；第二阶段，松弛率较小，趋向稳定。

弹性材料或元件，由于加工变形及热处理，导致宏观应力及第二类应力不均匀，即晶粒间应力分布不均匀，使体系弹性应变能 dE 增大，整个体系处于不稳定状态。此时体系的自由能为 $dG=dU-TdS+dE$ 。在此， dG 为体系的Gibbs自由能； dU 为体系内能； dS 为熵变； T 为绝对温度； dE 为弹性应变能。承受弯曲应力时 $dE=Afdp$ 。其中， A 为常数， f 为挠度^[2]， dp 为承受的载荷变量。当温度低时 $dU=TdS$ ^[2]， $dG=dE(dG$ 为应力松弛过程驱动力)。过程进行时 $dG<0$ ，即 $dE<0$ ，说明应力松弛是弹性应变能降低过程。应变能降低的形式宏观上表现为 $dG=-Afdp$ 和承载能力降低；微观组织变化表现为晶粒合并，晶界消除，个别晶粒长大(图3中1、6、8)，孪晶带消除，界隅钝化。松弛第一阶段，趋动力较大，松弛率也大。随着过程的进行，弹性应变能逐渐减少，应力分布逐渐均匀化。因此，第二阶段松弛趋向稳定^[3]，剩余应力随时间变化^[3,4]，即 $\sigma_{II}=A-B\ln(1+t)$ ，其中， A 为第二阶段曲线延长与纵坐标交点处的应力； B 为第二阶段曲线斜率， $B=\tan\alpha$ ， α 为横坐标与第二阶段曲线的夹角，但本式中适用于沉淀硬化合金。根据试验数据进行线性回归，可得第二阶段松弛曲线回归方程，见表2。第二阶段曲线

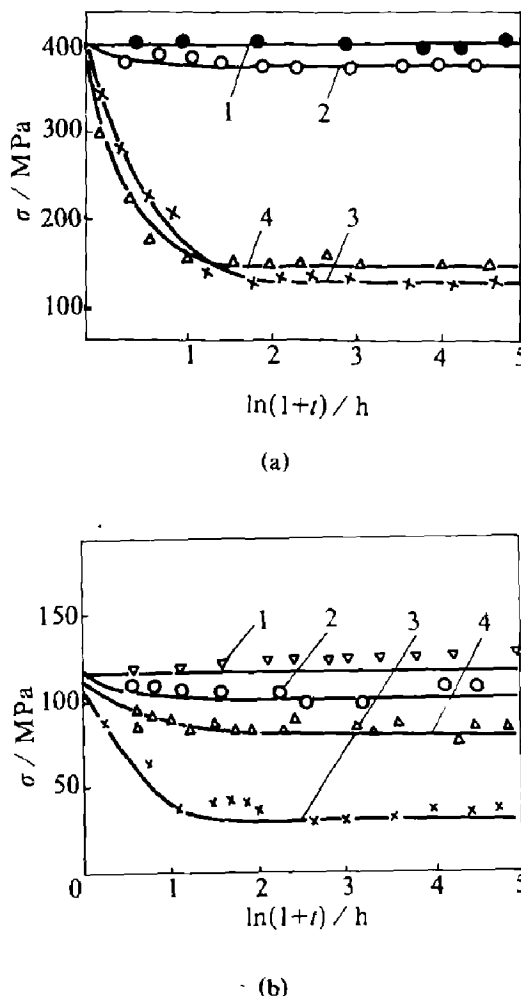


图1 $Q_{Be-1.75}$ 在不同温度 T 下的松弛曲线

(a)—时效态；(b)—固溶态；

1—室温；2—50℃；3—80℃；4—120℃

表2 $Q_{Be-1.75}$ 固溶和时效第二阶段松弛曲线方程

$T/^\circ C$	固溶态 σ_{II}/MPa	时效态 σ_{II}/MPa
室温	$\sigma_{II}=120$	$\sigma_{II}=380$
50	$\sigma_{II}=102-0.0087\ln(1+t)$	$\sigma_{II}=373-0.0087\ln(1+t)$
80	$\sigma_{II}=42-0.026\ln(1+t)$	$\sigma_{II}=127-0.034\ln(1+t)$
120	$\sigma_{II}=88-0.017\ln(1+t)$	$\sigma_{II}=140-0.017\ln(1+t)$

斜率很小，几乎平行于横坐标。

可以根据第二阶段松弛曲线方程 $\sigma_{II}=A-B\ln(1+t)$ 外推长期工作时的稳定性和可靠性^[4]。

温度对应力松弛有较大的影响，图1和表3表明随温度的提高，第一阶段的松弛率增加，松弛持续时间缩短。值得注意，在80~120℃之间松弛规律出现相反的情况，这是因

为时效强化类合金松弛时伴随有时效强化效应，120℃时效强化效果较80℃效果明显，这已被实验证明。

合金的状态对松弛性能有较明显的影响，固溶态的 $Q_{Be-1.75}$ ，弹性极限较低，松弛初始应力较小；时效的铍青铜，松弛初始应力较高，室温、50、120℃固溶态的稳定性较好，80℃稳定性最差。相同的松弛温度，时效态的松弛率较大(见表3)。

表3 $Q_{Be-1.75}$ 第一阶段平均松弛率(σ_1 / t)

$T / ^\circ C$	固 溶 态		时 效 态	
	$\sigma_1 \cdot t^{-1} / MPa \cdot h^{-1}$	t / h	$\sigma_1 \cdot t^{-1} / MPa \cdot h^{-1}$	t / h
室温				
50	0.98	47	0.5	13
80	27	2.2	25	10
120	4	5	10	7

2.2 固溶态的 $Q_{Be-1.75}$ 在松弛前后的组织

图2是780℃固溶的 $Q_{Be-1.75}$ 在松弛前后的TEM组织及衍射图谱，松弛前为单相 α 固溶体，有不均匀分布的位错和孪晶及少量未溶的 γ_1 相，室温松弛150h，其TEM组织，沿晶界或位错密集区出现了针棒状斑点，电子选区衍射标定证明，这些短棒斑点是Be原子偏聚的G-P区，含Be量约50%，和基体共格，G-P区位于母相{220}面上，尺寸大，密度高，说明松弛时在弹性应力作用下，Be原子沿着点阵伸长的方向进行了上坡扩散，此时 $\partial^2 G / \partial C_1^F < 0$ ，任何成分的波动、偏聚都引起系统自由能降低，是一种自发趋热。G-P区的形成增加了弹性应变，强化了基体，提高了固溶态 $Q_{Be-1.75}$ 的稳定性，因

此，这类合金的室温松弛稳定性很高。

松弛温度的提高，增加了原子活动性，促进了G-P区的发展和转化，基体弹性应变能降低松弛稳定性随温度升高而降低。图3(a)、(b)是80℃松弛前后的定点光镜组织，比较发现松弛后的组织变化表现为：

(1) 某些晶界变钝(见图3中的5、8)，某些晶粒长大或合并(如图3中的8、1、6)。组织易腐蚀；

(2) 孪晶带消失变为共格孪晶界或半共格孪晶界，如图中的2、3、4。界隅变钝，个别晶粒尺寸增大，孪晶带消失或变为非共格，是松弛过程能量降低的一种表现形式。

2.3 时效态 $Q_{Be-1.75}$ 在松弛前后的组织

图4(a)、(b)是 $Q_{Be-1.75}$ ，780℃固溶320℃固溶时效2h松弛前后的电子选区衍射图谱。时效后衍射斑呈芒果状，有方向性，斑点间有明显的浅色线条联接。时效后形成了大量的G-P区，与基体共格，导致弹性应变增大，使衍射斑拉长。这种状态的合金室温稳定性很高(图4(a))。

图4(b)是时效后120℃松弛150h的 $Q_{Be-1.75}$ 电子选区衍射斑它表明，多数斑点已由拉长的芒果状转变为圆形，其共格弹性应变已基本上消除。斑点指数仍和未松弛的相一致。较暗的斑点，标定指出有新相析出。新相为体心立方结构，点阵常数 $a=2.711\text{\AA}$ 新相为CuBe化合物，说明保温松弛有时作用。

高温时，原子活动能力较强，上坡扩散加快，G-P区长大，数量增加，有些与基体脱离共格形成新相，弹性应力消除。

图2 $Q_{Be-1.75}$ 固溶态室温松弛后的TEM及衍射斑

图3 $Q_{Be-1.75}$ 在 80 °C 松弛前后的定点光镜组织($\times 320$)

(a)—固溶态; (b)—室温松弛 150 h(未腐蚀)

曲线分两个阶段。第一阶段的松弛速率较大。第二阶段的松弛速率较小而且趋向稳定，其松弛动力学方程为 $\sigma_{II} = A - B \ln(1+t)$ ，由此可以外推长期工作寿命和可靠性；

(2) 温度对应力松弛有较大的影响。随着温度的提高，第一阶段松弛率增大，同时有时效强化伴随，120 °C 时效强化效果大于 80 °C 的，所以 120 °C 的松弛稳定性大于 80 °C 的；

(3) 固溶态镍青铜室温松弛时，在弹性应力作用下，Be 原子进行上坡扩散，形成 G-P 区，促进室温稳定性增加。80 °C 松弛的定点观察表明松弛后晶界变钝，个别晶粒长大或合并，某些孪晶带消失变为共格晶界或半共格晶界，亦即出现能量降低现象；

(4) TEM 选区电子衍射证明，时效的镍青铜松弛过程是弹性应力降低和消除过程，并伴随有 G-P 区的发展和新相的形成。

参考文献

- 肖林. 硕士学位论文. 天津大学, 1990.
- 李忆莲等. 机械工程学报, 1992, 28(3): 17-22.
- 肖林, 李忆莲. 天津大学学报, 1992, 增2.
- Eric Kula, Volker Weiss. Residual Stress and Stress Relaxation. New York: Plenum Press, 1982.
- Jackson P J. Acta Metall, 1985, 33(3): 449-454.

图4 $Q_{Be-1.75}$ 电子衍射谱及斑点标定

(a)—时效态; (b)—120 °C 松弛后

室温松弛的时效 $Q_{Be-1.75}$ ，电子衍射斑的形貌介于图 4(a)、(b)之间，被拉长的斑点稍变圆，大部分 G-P 区依然为共格状态，稳定性仍然很高。

这些观察表明，沉淀强化型合金的应力松弛过程是 G-P 区的形成和转化为新相的过程；并伴随有时效强化、弹性应力形成和消失，宏观不均匀应力均匀化^[5]和能量降低。温度低时该过程进行较慢，温度高时进行较快。

3 结论

(1) 镍青铜在弯曲应力作用下的应力松弛